

This airborne geophysical survey and the production of this map were funded by the Saskatchewan Ministry of Energy and Resources and the GEM-Energy Program of the Earth Sciences Sector, Natural Resources Canada.

Ce levé géophysique aéroporté et la production de cette carte ont été financés par le ministère de l'Energie et des Ressources de la Saskatchewan et le programme GEM-Energie du Secteur des sciences de la Terre, Ressources naturelles Canada.

GSC OPEN FILE 6786 / DOSSIER PUBLIC 6786 DE LA CGC  
SMER OPEN FILE 2011-21

#### GEOPHYSICAL SERIES / SÉRIE DES CARTES GÉOPHYSIQUES

AIRBORNE GEOPHYSICAL SURVEY OF THE NORTHWESTERN ATHABASCA BASIN, SASKATCHEWAN

LEVÉ GÉOPHYSIQUE AÉROPORTÉ DE LA PARTIE NORD-OUEST DU BASSIN ATHABASCA, SASKATCHEWAN

NTS 74 J/12 Birney Lake / SNRC 74 J/12 Birney Lake

#### NATURAL AIR ABSORBED DOSE RATE TAUX D'ABSORPTION NATUREL DES RAYONS GAMMA DANS L'AIR

Authors: Fortin, R., Coyle, M., Buckle, J.,  
Hefford, S.W. and Delaney, G.

Data acquisition, compilation and map produced by Gold Airborne  
Survey, Saskatoon. All rights reserved. Contact and project management  
by the Geological Survey of Canada, Ottawa, Ontario.

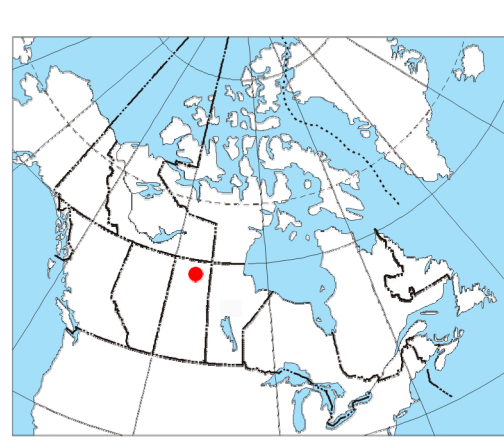
Scale 1:50 000 - Échelle 1/50 000

mètres 1000 0 1000 2000 3000 mètres

NAD83 / UTM zone 13N

Auteurs : Fortin, R., Coyle, M., Buckle, J.,  
Hefford, S.W. et Delaney, G.

L'acquisition, la compilation et la production de la carte  
ont été réalisées par Gold Airborne Survey, Saskatoon.  
La gestion et la supervision du projet furent effectuées  
par la Commission géologique du Canada, Ottawa, Ontario.



#### Introduction

A quantitative gamma-ray spectrometric and aeromagnetic survey of the northwestern Athabasca Basin, Saskatchewan, was conducted by Goldair Airborne Surveys. The survey was flown from June 24 to September 1st, 2011, using a Piper PA-31 Navajo (C-GJBA, C-GJBB) and one Cesna Caravan (C-GLDX). The nominal traverse flight line spacing was 400 m and 2400 m, and the aircraft flew at a nominal terrain clearance of 125 m at airspeeds between 200 and 210 km/h. Traverse lines were oriented 135° with orthogonal control lines. The flight path was recovered using post-flight differential corrections to raw data recorded by the aircraft.

#### Gamma-ray Spectrometric Data

The airborne gamma-ray measurements were made with a Radiation Solutions RS-500 gamma spectrometer using fourteen 102-1024-mm NaI (TI) crystals. The main detector array consisted of twelve crystals (total volume 5.4 litres), shielded by the main array, were used to detect variations in background radiation caused by atmospheric radon. The system constantly monitored the natural thorium peak for each crystal, and using a Gaussian least squares algorithm adjusted the gain for each crystal.

Potassium was measured directly from the 1460 keV gamma-ray photons emitted by  $\text{K}^{40}$ , whereas uranium and thorium were measured indirectly from gamma-ray photons emitted by their parents; thus gamma-ray spectrometric measurements of uranium and thorium are referred to as equivalent uranium and equivalent thorium, i.e.  $\text{eU}$  and  $\text{eTh}$ . The energy windows used to measure potassium, uranium and thorium, respectively, were 1370-1570 keV, 1660-1860 keV, and 2410-2810 keV.

Gamma-ray spectra were recorded at one-second intervals. Data processing followed standard procedures as described in IAEA, 1991 and IAEA, 2003. During processing, the spectra were energy calibrated, and counts were accumulated into bins defined above. Counts from the three windows for the 1660-1860 keV window and radon were corrected for the energy-dependent absorption of the atmosphere and the cosine window. The energy windows were corrected for dead time, background and detector efficiency. The raw data were then corrected for spectral scattering in the ground, the air, and detectors. Corrections for deviations from planned terrain clearance and for variation of temperature and pressure were made prior to conversion to ground concentrations of potassium, uranium and thorium, using factors determined from flights over the Saskatchewan crustal range. The factors for potassium, uranium and thorium are listed in Table 1.

	C-GJBA	C-GLDX
Potassium (cps%)	83.27	82.05
Uranium (cps%)	18.05	18.53
Thorium (cps%)	5.61	6.57

Table 1 Gamma Ray Spectrometer Sensitivities for each aircraft

Corrected data were then linearized and interpolated to a 5 km grid interval. The results of an airborne gamma-ray spectrometer survey represent the average surface concentrations that are influenced by varying amounts of outcrop, overburden, vegetation cover, soil moisture and surface water. As a result the measured concentrations are usually lower than the actual bedrock concentrations. The total air-absorbed dose rate in nanograys per hour was produced from measured counts between 400 and 2810 keV.

#### Magnetic Data

The magnetic field was sampled 10 times per second using a split-beam cesium vapour magnetometer (sensitivity = 0.005 nT) rigidly mounted to the aircraft. Differences in magnetic values at the intersections of control and traverse lines were computer-analyzed to obtain a highly leveled set of flight-line magnetic data. The leveled values were then interpolated to a 100 m grid. The International Geodetic Reference Frame (IGRF) defined at the average GFS altitude of 510 m for the year 2010.61 was removed. Removal of the IGRF, representing the magnetic field of the Earth's core, produces a residual component essentially to magnetizations within the Earth's crust.

The first vertical derivative of the magnetic field is the rate of change of the magnetic field in the vertical direction. Computation of the first vertical derivative removes long wavelength features of the magnetic field and significantly improves the resolution of closely spaced and superposed anomalies. A property of first vertical derivative maps is the coincidence of the zero-value contour with vertical contacts of magnetic units at high magnetic latitudes (Hood, 1968).

#### LEVÉ GÉOPHYSIQUE DE LA PARTIE NORD-OUEST DU BASSIN ATHABASCA, SASKATCHEWAN

#### Introduction

Un levé géophysique aéroporté combinant l'acquisition de données de spectrométrie gamma et de données magnétiques a été réalisé dans la partie nord-ouest du bassin de l'Athabasca en Saskatchewan par la société Goldair Airborne Surveys. Le levé a été effectué du 24 juin au 1er septembre 2010, à bord de deux avions Piper PA-31 Navajo (C-GJBA, C-GJBB) et d'un Cesna Caravan (C-GLDX). L'écartement nominal des lignes de vol était de 400 m et celui des lignes de contrôle de 2 400 m. L'altitude nominale de l'avion était de 125 m au-dessus du sol et l'altitude nominale de l'avion était de 2 400 m. Les lignes de vol étaient toutes perpendiculaires. La trajectoire de vol a été restituée par application après la vol de corrections différentielles aux données brutes enregistrées avec un récepteur GPS.

#### Données de spectrométrie gamma

Les mesures du rayonnement gamma ont été effectuées à l'aide d'un spectromètre gamma Radiation Solutions RS-500 utilisant quatorze cristaux de NaI (TI) de 102-1024-mm. Le système principal comprenait dix-sept cristaux (volume total de 5.4 litres), protégés par le bouclier principal, pour déceler les variations du rayonnement naturel causé par le radon atmosphérique. Le dispositif permettait de faire un suivi constant des pics de thorium pour chacun des cristaux et, au moyen d'un algorithme d'ajustement gaußien par la méthode des moindres carrés, de compenser le gain pour chacun des cristaux.

Le potassium est mesuré directement des photons gamma de 1 460 keV émis par le  $\text{K}^{40}$ , tandis que l'uranium et le thorium sont mesurés indirectement grâce aux photons gamma émis par les produits de fissile ( $\text{B}^{37}$  pour l'uranium et  $\text{T}^{231}$  pour le thorium). Bien que ces deux substances de fissile se trouvent tous les deux dans le thorium, soit désignés comme des équivalents d'uranium et des équivalents de thorium, soit  $\text{eU}$  et  $\text{eTh}$ . Les plages d'énergie utilisées pour mesurer le potassium, l'uranium et le thorium sont respectivement : 1 370 à 1 570 keV, de 1 660 à 1 860 keV et de 2 410 à 2 810 keV. Le débit total de la dose absorbée par l'air, en nanograys à l'heure, a été déterminé à partir des mesures dans la plage de 400 à 2 810 keV.

Les spectres de rayonnement gamma ont été enregistrés à intervalle d'une seconde. Le traitement des données a suivi les procédures standards décrites dans IAEA, 1991 et IAEA, 2003. Pendant le vol, les spectres étaient enregistrés et les valeurs étaient évaluées à l'aide d'un ensemble de données sur le champ magnétique mutuellement orthogonaux sur les lignes de vol. Ces valeurs étaient ensuite interpolées et intégrées sur une grille de 100 m. Le champ géomagnétique IGREF a été enlevé à l'aide de la moyenne des données à 3 000 keV et a été enregistré dans la partie de l'environnement cosmique. Les coups enregistrés dans les plages ont été corrigés pour tenir compte du temps le plus instrument, du rayonnement cosmique, de la radiativité de l'avion et des produits de désintégration du radon atmosphérique. Les données ont ensuite été corrigées pour tenir compte de la diffusion spectrale dans le sol, l'air et les capteurs. Les corrections pour les effluves, les morts-terrains, la couverture végétale et l'eau de surface ont également été appliquées pour mesurer le potassium, l'uranium et le thorium. Les facteurs pour le potassium, l'uranium et le thorium sont présentés dans le Tableau 1. Pour la mise en carte, un filtre a été appliqué aux données corrigées, qui ont ensuite été interpolées suivant une grille à mailles de 100 m.

Tableau 1. Sensibilité des spectromètres de chaque avion.

Les résultats d'un levé aéroporté de spectrométrie gamma représentent les concentrations moyennes à la surface. Celles-ci sont influencées par les étendues variables des effluves, des morts-terrains, de la couverture végétale et de l'eau de surface. Par conséquent, les concentrations mesurées sont habituellement plus faibles que les concentrations réelles dans le substratum rocheux.

#### Données sur le champ magnétique

Le champ magnétique a été échantillonné 10 fois par seconde à l'aide d'un magnétomètre à vapeur de caesium à flux partagé (sensibilité = 0.005 nT) rigidement fixé à l'avion. Les différences de valeur du champ magnétique aux intersections des lignes de contrôle et des lignes de levé ont été analysées afin d'obtenir un ensemble de données sur le champ magnétique mutuellement orthogonaux sur les lignes de vol. Ces valeurs étaient interpolées et intégrées sur une grille de 100 m. Le champ géomagnétique IGREF a été enlevé à l'aide de la moyenne des données à 3 000 keV et a été enregistré dans la partie de l'environnement cosmique. La soustraction de l'IGRF, qui représente le champ magnétique du noyau terrestre, fournit une composante résiduelle essentiellement due à la magnétisation de l'écorce terrestre.

La dérivée première verticale du champ magnétique représente le taux auquel le champ magnétique suivant la verticale. Le calcul de la dérivée première verticale suppose les composantes de grande longueur d'onde du champ magnétique et améliore considérablement la résolution des anomalies rapprochées des unes des autres ou superposées. L'une des propriétés des cartes de la dérivée première verticale est la coincidence de l'isogame de valeur zéro et des contacts verticaux aux hautes latitudes magnétiques (Hood, 1968).

#### References / Références

Hood, P.J. 1965. Gradient measurements in aeromagnetic surveying. Geophysics, v.30, p.891-902.

International Atomic Energy Agency, 1991. Airborne gamma ray spectrometer surveying. Technical Reports Series 323, IAEA, Vienna.

International Atomic Energy Agency, 2003. Guide lines for radon mapping using gamma ray spectrometry data. Technical Reports Series 1363, IAEA, Vienna.

#### PLANIMETRIC SYMBOLS

Drainage	.....	Drainage
Highway	.....	Autoroute
Flight line	1155 >	Ligne de vol

#### SYMBOLS PLANIMÉTRIQUES

Drainage	.....	Drainage
Highway	.....	Autoroute
Flight line	1155 >	Ligne de vol

#### MAP SHEET SUMMARY / SOMMAIRE DES FEUILLES

##### Sheet / Feuillet

##### MAP / CARTE

##### 1. Natural Air Absorbed Dose Rate

##### Taux d'absorption naturel des rayons gamma dans l'air

##### 2. Potassium

##### 3. Uranium

##### 4. Thorium

##### 5. Uranium / Thorium

##### 6. Uranium / Potassium

##### 7. Thorium / Potassium

##### 8. Thorium / Potassium

##### 9. Remanent Magnetization

##### Composante résiduelle du champ magnétique total

##### 10. First Vertical Derivative of the Magnetic Field

##### Dérivée première verticale du champ magnétique

#### OPEN FILE

#### 2011-21

#### SASKATCHEWAN MINISTRY OF ENERGY AND RESOURCES

#### 2011

#### FEUILLET 1 OF 10

#### FEUILLET 1 DE 10

#### NATIONAL TOPOGRAPHIC SYSTEM REFERENCE AND GEOPHYSICAL MAP INDEX SYSTÈME NATIONAL DE RÉFÉRENCE CARTOGRAPHIQUE ET INDEX DES CARTES GÉOPHYSIQUES

